

## (8) 高炉の炉内状況および出銑量とカーボン比に及ぼすパラメータ変化の効果

名古屋大学大学院  
名古屋大学工学部

○八木順一郎  
鞭 崑

1. 緒言 高炉内で起る物理的あるいは化学的变化のうち重要な因子であると考えられる鉱石の間接還元反応およびカーボン・ソリューション反応の化学反応速度定数、炉壁からの熱損失、粒子・流体間の伝熱係数および装入鉱石の予備還元率を変化させ、出銑量、コーカス比および炉内におけるプロセス変数の変化を数学的モデルを使つて検討した。

2. 鉱石の間接還元反応とカーボン・ソリューション反応 従来、著者らは高炉の数学的モデルで  $(1/3)Fe_2O_3 + CO = (2/3)Fe + CO_2 \dots (1)$  および  $C + CO_2 = 2CO \dots (2)$  の総括反応速度として (3), (4) 式を使用している。

$$R_1^* = \frac{\pi d_p^2 \Phi_c^{-1} N_1 \cdot 273 P(x-x^*) / 22.4 t}{(1/f_{f1}) + d_p \{ (1-f_1)^{1/3} - 1 \} / 2 D_{11} + \{ k_1 (1+1/k_1) (1-f_1)^{1/3} \}^{-1}} \quad (3)$$

$$R_2^* = \frac{\pi d_c^2 \Phi_c^{-1} N_2 \cdot 273 P y / 22.4 t}{(1/f_{f2}) + (6/dc E_f f_c R_2)} \quad (4)$$

(3), (4) 式中の反応速度定数  $k_1$  と  $k_2$  には (5), (6) 式を用いていた。

$$k_1 = 0.6 \cdot \exp(6.3586 - 6878/Rt) [m^3/kg] \quad (5)$$

$$k_2 = 2.99 \times 10^{13} \exp(-80000/Rt) [m^3/kg \cdot hr] \quad (6)$$

従来報告されている  $k_1$  と  $k_2$  の活性化エネルギー  $E_1, E_2$  は  $4 \sim 25 \text{ kcal/mole}$  および  $40 \sim 100 \text{ kcal/mole}$  がかなり大きい変動がある。ここでは  $E_1 = 6.878, 10, 13, 16, 18.5 \text{ kcal/mole}$  また  $E_2 = 59, 70, 80 \text{ kcal/mole}$  に変化させて、両反応速度の変化に伴う出銑量  $W$ 、カーボン比  $Cr$  および炉内状況の変化を調べた。先に (5) 式から計算し、 $E_2 = 59 \text{ kcal/mole}$  とし、頻度因子を変化させ炉内におけるプロセス変数の軸方向分布を求めた結果を図 1 に示した。この場合には、炉頂の装入条件、风口の送風条件はすべて一定にしてあるので、(2) 式の反応が起こらないチャート上部とは一致している。しかし、チャート下部から (2) 式の反応が起こりはじめると温度分布、 $CO, CO_2$  のモル分率分布などにも変化が現われる。図中一点鎖線の場合は  $R_2^*$  があまり速すぎ、正常状態になり得なかった例である。

3. 炉壁からの熱損失と粒子・流体間伝熱係数  $d_p$  炉全体の熱損失をパラメータとし、それに伴う総括伝熱係数を変化させて炉内のプロセス変数の分布状態を調べた。一方、 $d_p$  については、種々の報告があるが数値がかなり相異しているので、ここでは、 $d_p$  をパラメータとして変化させ、 $W, Cr$  および炉内状況の変化の様子を調べた。

4. 装入鉱石の予備還元率変化 装入鉱石の予備還元率を  $0 \sim 1$  まで変化させ、予備還元率と  $Cr$ 、炉の関係および炉内でのプロセス変数の軸方向分布の変化を調べた。

記号:  $D_{11}$ : 粒内拡散係数 [ $m^3/kg$ ] ;  $dc, dp$ : コーカス、鉱石の粒径 [ $m$ ] ;  $E_f$ : 有効係数 ;  $F$ : ガス流量 [ $Nm^3/h$ ] ;  $f_c, f_e, f_o$ : コーカス、石灰石、鉱石の反応率 ;  $K_1$ : 平衡定数 ;  $\Phi_1, \Phi_2$ : 境膜物質移動係数 [ $m^3/kg \cdot h$ ] ;  $N_1, N_2$ : 鉱石、コーカスの個数 [ $1/m^3(\text{bed})$ ] ;  $P$ : 圧力 [ $atm$ ] ;  $T, t$ : ガス、粒子の温度 [ $^\circ K$ ] ;  $w, v, x, z, y$ :  $H_2, H_2O, CO, CO_2$  の  $CO, CO_2$  のモル分率 ;  $\rho_c$ : コーカスのみかけ密度 [ $kg/m^3$ ] ;  $\phi_1, \phi_c$ : 鉱石とコーカスの形状係数

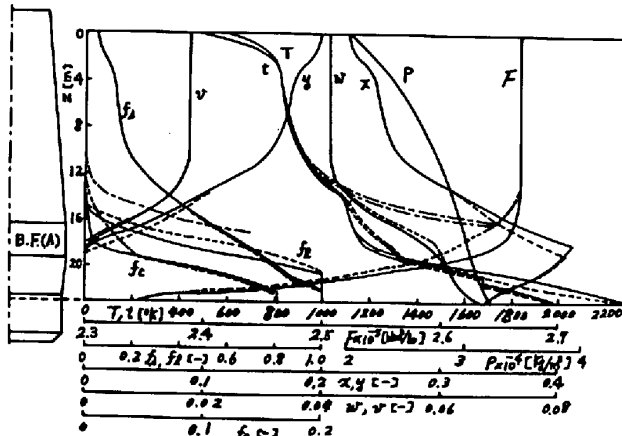


図 1  $R_2^*$  を変化させた場合のプロセス変数の軸方向分布  
---  $R_2^* = 10^6 \exp(-59000/Rt)$ , ---  $R_2^* = 10^6 \exp(-59000/Rt)$ , ---  $R_2^* = 10^6 \exp(-59000/Rt)$

$R_2^* = 10^6 \exp(-59000/Rt)$ ,  $R_2^* = 10^6 \exp(-59000/Rt)$ ,  $R_2^* = 10^6 \exp(-59000/Rt)$

$R_2^* = 10^6 \exp(-59000/Rt)$ ,  $R_2^* = 10^6 \exp(-59000/Rt)$ ,  $R_2^* = 10^6 \exp(-59000/Rt)$

$R_2^* = 10^6 \exp(-59000/Rt)$ ,  $R_2^* = 10^6 \exp(-59000/Rt)$ ,  $R_2^* = 10^6 \exp(-59000/Rt)$

$R_2^* = 10^6 \exp(-59000/Rt)$ ,  $R_2^* = 10^6 \exp(-59000/Rt)$ ,  $R_2^* = 10^6 \exp(-59000/Rt)$

$R_2^* = 10^6 \exp(-59000/Rt)$ ,  $R_2^* = 10^6 \exp(-59000/Rt)$ ,  $R_2^* = 10^6 \exp(-59000/Rt)$

$R_2^* = 10^6 \exp(-59000/Rt)$ ,  $R_2^* = 10^6 \exp(-59000/Rt)$ ,  $R_2^* = 10^6 \exp(-59000/Rt)$

$R_2^* = 10^6 \exp(-59000/Rt)$ ,  $R_2^* = 10^6 \exp(-59000/Rt)$ ,  $R_2^* = 10^6 \exp(-59000/Rt)$

$R_2^* = 10^6 \exp(-59000/Rt)$ ,  $R_2^* = 10^6 \exp(-59000/Rt)$ ,  $R_2^* = 10^6 \exp(-59000/Rt)$

$R_2^* = 10^6 \exp(-59000/Rt)$ ,  $R_2^* = 10^6 \exp(-59000/Rt)$ ,  $R_2^* = 10^6 \exp(-59000/Rt)$

$R_2^* = 10^6 \exp(-59000/Rt)$ ,  $R_2^* = 10^6 \exp(-59000/Rt)$ ,  $R_2^* = 10^6 \exp(-59000/Rt)$

$R_2^* = 10^6 \exp(-59000/Rt)$ ,  $R_2^* = 10^6 \exp(-59000/Rt)$ ,  $R_2^* = 10^6 \exp(-59000/Rt)$

$R_2^* = 10^6 \exp(-59000/Rt)$ ,  $R_2^* = 10^6 \exp(-59000/Rt)$ ,  $R_2^* = 10^6 \exp(-59000/Rt)$

$R_2^* = 10^6 \exp(-59000/Rt)$ ,  $R_2^* = 10^6 \exp(-59000/Rt)$ ,  $R_2^* = 10^6 \exp(-59000/Rt)$

$R_2^* = 10^6 \exp(-59000/Rt)$ ,  $R_2^* = 10^6 \exp(-59000/Rt)$ ,  $R_2^* = 10^6 \exp(-59000/Rt)$

$R_2^* = 10^6 \exp(-59000/Rt)$ ,  $R_2^* = 10^6 \exp(-59000/Rt)$ ,  $R_2^* = 10^6 \exp(-59000/Rt)$

$R_2^* = 10^6 \exp(-59000/Rt)$ ,  $R_2^* = 10^6 \exp(-59000/Rt)$ ,  $R_2^* = 10^6 \exp(-59000/Rt)$

$R_2^* = 10^6 \exp(-59000/Rt)$ ,  $R_2^* = 10^6 \exp(-59000/Rt)$ ,  $R_2^* = 10^6 \exp(-59000/Rt)$

$R_2^* = 10^6 \exp(-59000/Rt)$ ,  $R_2^* = 10^6 \exp(-59000/Rt)$ ,  $R_2^* = 10^6 \exp(-59000/Rt)$

$R_2^* = 10^6 \exp(-59000/Rt)$ ,  $R_2^* = 10^6 \exp(-59000/Rt)$ ,  $R_2^* = 10^6 \exp(-59000/Rt)$

$R_2^* = 10^6 \exp(-59000/Rt)$ ,  $R_2^* = 10^6 \exp(-59000/Rt)$ ,  $R_2^* = 10^6 \exp(-59000/Rt)$

$R_2^* = 10^6 \exp(-59000/Rt)$ ,  $R_2^* = 10^6 \exp(-59000/Rt)$ ,  $R_2^* = 10^6 \exp(-59000/Rt)$

$R_2^* = 10^6 \exp(-59000/Rt)$ ,  $R_2^* = 10^6 \exp(-59000/Rt)$ ,  $R_2^* = 10^6 \exp(-59000/Rt)$

$R_2^* = 10^6 \exp(-59000/Rt)$ ,  $R_2^* = 10^6 \exp(-59000/Rt)$ ,  $R_2^* = 10^6 \exp(-59000/Rt)$

$R_2^* = 10^6 \exp(-59000/Rt)$ ,  $R_2^* = 10^6 \exp(-59000/Rt)$ ,  $R_2^* = 10^6 \exp(-59000/Rt)$

$R_2^* = 10^6 \exp(-59000/Rt)$ ,  $R_2^* = 10^6 \exp(-59000/Rt)$ ,  $R_2^* = 10^6 \exp(-59000/Rt)$

$R_2^* = 10^6 \exp(-59000/Rt)$ ,  $R_2^* = 10^6 \exp(-59000/Rt)$ ,  $R_2^* = 10^6 \exp(-59000/Rt)$

$R_2^* = 10^6 \exp(-59000/Rt)$ ,  $R_2^* = 10^6 \exp(-59000/Rt)$ ,  $R_2^* = 10^6 \exp(-59000/Rt)$

$R_2^* = 10^6 \exp(-59000/Rt)$ ,  $R_2^* = 10^6 \exp(-59000/Rt)$ ,  $R_2^* = 10^6 \exp(-59000/Rt)$

$R_2^* = 10^6 \exp(-59000/Rt)$ ,  $R_2^* = 10^6 \exp(-59000/Rt)$ ,  $R_2^* = 10^6 \exp(-59000/Rt)$

$R_2^* = 10^6 \exp(-59000/Rt)$ ,  $R_2^* = 10^6 \exp(-59000/Rt)$ ,  $R_2^* = 10^6 \exp(-59000/Rt)$

$R_2^* = 10^6 \exp(-59000/Rt)$ ,  $R_2^* = 10^6 \exp(-59000/Rt)$ ,  $R_2^* = 10^6 \exp(-59000/Rt)$

$R_2^* = 10^6 \exp(-59000/Rt)$ ,  $R_2^* = 10^6 \exp(-59000/Rt)$ ,  $R_2^* = 10^6 \exp(-59000/Rt)$

$R_2^* = 10^6 \exp(-59000/Rt)$ ,  $R_2^* = 10^6 \exp(-59000/Rt)$ ,  $R_2^* = 10^6 \exp(-59000/Rt)$

$R_2^* = 10^6 \exp(-59000/Rt)$ ,  $R_2^* = 10^6 \exp(-59000/Rt)$ ,  $R_2^* = 10^6 \exp(-59000/Rt)$

$R_2^* = 10^6 \exp(-59000/Rt)$ ,  $R_2^* = 10^6 \exp(-59000/Rt)$ ,  $R_2^* = 10^6 \exp(-59000/Rt)$

$R_2^* = 10^6 \exp(-59000/Rt)$ ,  $R_2^* = 10^6 \exp(-59000/Rt)$ ,  $R_2^* = 10^6 \exp(-59000/Rt)$

$R_2^* = 10^6 \exp(-59000/Rt)$ ,  $R_2^* = 10^6 \exp(-59000/Rt)$ ,  $R_2^* = 10^6 \exp(-59000/Rt)$

$R_2^* = 10^6 \exp(-59000/Rt)$ ,  $R_2^* = 10^6 \exp(-59000/Rt)$ ,  $R_2^* = 10^6 \exp(-59000/Rt)$

$R_2^* = 10^6 \exp(-59000/Rt)$ ,  $R_2^* = 10^6 \exp(-59000/Rt)$ ,  $R_2^* = 10^6 \exp(-59000/Rt)$

$R_2^* = 10^6 \exp(-59000/Rt)$ ,  $R_2^* = 10^6 \exp(-59000/Rt)$ ,  $R_2^* = 10^6 \exp(-59000/Rt)$

$R_2^* = 10^6 \exp(-59000/Rt)$ ,  $R_2^* = 10^6 \exp(-59000/Rt)$ ,  $R_2^* = 10^6 \exp(-59000/Rt)$

$R_2^* = 10^6 \exp(-59000/Rt)$ ,  $R_2^* = 10^6 \exp(-59000/Rt)$ ,  $R_2^* = 10^6 \exp(-59000/Rt)$

$R_2^* = 10^6 \exp(-59000/Rt)$ ,  $R_2^* = 10^6 \exp(-59000/Rt)$ ,  $R_2^* = 10^6 \exp(-59000/Rt)$

$R_2^* = 10^6 \exp(-59000/Rt)$ ,  $R_2^* = 10^6 \exp(-59000/Rt)$ ,  $R_2^* = 10^6 \exp(-59000/Rt)$

$R_2^* = 10^6 \exp(-59000/Rt)$ ,  $R_2^* = 10^6 \exp(-59000/Rt)$ ,  $R_2^* = 10^6 \exp(-59000/Rt)$

$R_2^* = 10^6 \exp(-59000/Rt)$ ,  $R_2^* = 10^6 \exp(-59000/Rt)$ ,  $R_2^* = 10^6 \exp(-59000/Rt)$

$R_2^* = 10^6 \exp(-59000/Rt)$ ,  $R_2^* = 10^6 \exp(-59000/Rt)$ ,  $R_2^* = 10^6 \exp(-59000/Rt)$

$R_2^* = 10^6 \exp(-59000/Rt)$ ,  $R_2^* = 10^6 \exp(-59000/Rt)$ ,  $R_2^* = 10^6 \exp(-59000/Rt)$

$R_2^* = 10^6 \exp(-59000/Rt)$ ,  $R_2^* = 10^6 \exp(-59000/Rt)$ ,  $R_2^* = 10^6 \exp(-59000/Rt)$

$R_2^* = 10^6 \exp(-59000/Rt)$ ,  $R_2^* = 10^6 \exp(-59000/Rt)$ ,  $R_2^* = 10^6 \exp(-59000/Rt)$

$R_2^* = 10^6 \exp(-59000/Rt)$ ,  $R_2^* = 10^6 \exp(-59000/Rt)$ ,  $R_2^* = 10^6 \exp(-59000/Rt)$

$R_2^* = 10^6 \exp(-59000/Rt)$ ,  $R_2^* = 10^6 \exp(-59000/Rt)$ ,  $R_2^* = 10^6 \exp(-59000/Rt)$

$R_2^* = 10^6 \exp(-59000/Rt)$ ,  $R_2^* = 10^6 \exp(-59000/Rt)$ ,  $R_2^* = 10^6 \exp(-59000/Rt)$

$R_2^* = 10^6 \exp(-59000/Rt)$ ,  $R_2^* = 10^6 \exp(-59000/Rt)$ ,  $R_2^* = 10^6 \exp(-59000/Rt)$

$R_2^* = 10^6 \exp(-59000/Rt)$ ,  $R_2^* = 10^6 \exp(-59000/Rt)$ ,  $R_2^* = 10^6 \exp(-59000/Rt)$

$R_2^* = 10^6 \exp(-59000/Rt)$ ,  $R_2^* = 10^6 \exp(-59000/Rt)$ ,  $R_2^* = 10^6 \exp(-59000/Rt)$

$R_2^* = 10^6 \exp(-59000/Rt)$ ,  $R_2^* = 10^6 \exp(-59000/Rt)$ ,  $R_2^* = 10^6 \exp(-59000/Rt)$

$R_2^* = 10^6 \exp(-59000/Rt)$ ,  $R_2^* = 10^6 \exp(-59000/Rt)$ ,  $R_2^* = 10^6 \exp(-59000/Rt)$

$R_2^* = 10^6 \exp(-59000/Rt)$ ,  $R_2^* = 10^6 \exp(-59000/Rt)$ ,  $R_2^* = 10^6 \exp(-59000/Rt)$

$R_2^* = 10^6 \exp(-59000/Rt)$ ,  $R_2^* = 10^6 \exp(-59000/Rt)$ ,  $R_2^* = 10^6 \exp(-59000/Rt)$

$R_2^* = 10^6 \exp(-59000/Rt)$ ,  $R_2^* = 10^6 \exp(-59000/Rt)$ ,  $R_2^* = 10^6 \exp(-59000/Rt)$

$R_2^* = 10^6 \exp(-59000/Rt)$ ,  $R_2^* = 10^6 \exp(-59000/Rt)$ ,  $R_2^* = 10^6 \exp(-59000/Rt)$

$R_2^* = 10^6 \exp(-59000/Rt)$ ,  $R_2^* = 10^6 \exp(-59000/Rt)$ ,  $R_2^* = 10^6 \exp(-59000/Rt)$

$R_2^* = 10^6 \exp(-59000/Rt)$ ,  $R_2^* = 10^6 \exp(-59000/Rt)$ ,  $R_2^* = 10^6 \exp(-59000/Rt)$

$R_2^* = 10^6 \exp(-59000/Rt)$ ,  $R_2^* = 10^6 \exp(-59000/Rt)$ ,  $R_2^* = 10^6 \exp(-59000/Rt)$

$R_2^* = 10^6 \exp(-59000/Rt)$ ,  $R_2^* = 10^6 \exp(-59000/Rt)$ ,  $R_2^* = 10^6 \exp(-59000/Rt)$

$R_2^* = 10^6 \exp(-59000/Rt)$ ,  $R_2^* = 10^6 \exp(-59000/Rt)$ ,  $R_2^* = 10^6 \exp(-59000/Rt)$

$R_2^* = 10^6 \exp(-59000/Rt)$ ,  $R_2^* = 10^6 \exp(-59000/Rt)$ ,  $R_2^* = 10^6 \exp(-59000/Rt)$

$R_2^* = 10^6 \exp(-59000/Rt)$ ,  $R_2^* = 10^6 \exp(-59000/Rt)$ ,  $R_2^* = 10^6 \exp(-59000/Rt)$

$R_2^* = 10^6 \exp(-59000/Rt)$ ,  $R_2^* = 10^6 \exp(-59000/Rt)$ ,  $R_2^* = 10^6 \exp(-59000/Rt)$

$R_2^* = 10^6 \exp(-59000/Rt)$ ,  $R_2^* = 10^6 \exp(-59000/Rt)$ ,  $R_2^* = 10^6 \exp(-59000/Rt)$

$R_2^* = 10^6 \exp(-59000/Rt)$ ,  $R_2^* = 10^6 \exp(-59000/Rt)$ ,  $R_2^* = 10^6 \exp(-59000/Rt)$

$R_2^* = 10^6 \exp(-59000/Rt)$ ,  $R_2^* = 10^6 \exp(-59000/Rt)$ ,  $R_2^* = 10^6 \exp(-59000/Rt)$

$R_2^* = 10^6 \exp(-59000/Rt)$ ,  $R_2^* = 10^6 \exp(-59000/Rt)$ ,  $R_2^* = 10^6 \exp(-59000/Rt)$

$R_2^* = 10^6 \exp(-59000/Rt)$ ,  $R_2^* = 10^6 \exp(-59000/Rt)$ ,  $R_2^* = 10^6 \exp(-59000/Rt)$

$R_2^* = 10^6 \exp(-59000/Rt)$ ,  $R_2^* = 10^6 \exp(-59000/Rt)$ ,  $R_2^* = 10^6 \exp(-59000/Rt)$

$R_2^* = 10^6 \exp(-59000/Rt)$ ,  $R_2^* = 10^6 \exp(-59000/Rt)$ ,  $R_2^* = 10^6 \exp(-59000/Rt)$